

基础研究

轴抑制因子通过 β -catenin 调控 MMP7、MMP9 影响淋巴瘤细胞的侵和袭转移

李志晋, 叶晶珠, 詹丽英, 郑马亮

中国人民解放军第184医院血液科, 江西 鹰潭 335000

摘要:目的 探讨轴抑制因子(Axin)通过 β -catenin 调控 MMP7、MMP9 对淋巴瘤细胞侵袭迁移能力的影响。方法 用 RT-PCR 和 Western blot 法观察多株淋巴瘤细胞株里 Axin、 β -catenin、MMP7、MMP9 的表达情况;选取 Axin 相对低表达的淋巴瘤细胞分组瞬时转染 pCMV5-HA-Axin 和 pcDNA5-His- β -catenin 质粒,采用 RT-PCR 和 Western blot 法观察其细胞中 β -catenin、MMP7、MMP9 mRNA 及蛋白表达变化;构建稳定高表达 Axin 的淋巴瘤细胞后,分组瞬时转染 Axin-shRNA 和 β -catenin-shRNA 后观察 β -catenin、MMP7、MMP9 mRNA 及蛋白变化;采用 Transwell 侵袭实验观察空白处理对照组、稳定高表达 Axin 组、干扰 Axin 的稳定高表达 Axin 组细胞侵袭和迁移能力变化。**结果** 多株淋巴瘤细胞株中 Axin 与 β -catenin、MMP7、MMP9 表达呈负相关;选用 Axin 相对低表达的人恶性 B 淋巴瘤细胞株 Raji, 过表达 Axin 后发现 Axin 升高后, β -catenin、MMP7、MMP9 的蛋白表达降低,MMP7、MMP9、 β -catenin mRNA 未变化;当过表达 β -catenin 后发现 MMP7、MMP9 mRNA 和蛋白表达升高;另外,稳定高表达 Axin 的细胞中干扰 Axin, β -catenin、MMP7、MMP9 蛋白表达升高,MMP7、MMP9、 β -catenin mRNA 未变化;稳定高表达 Axin 的细胞中干扰 β -catenin,MMP7、MMP9 表达降低;证实 Axin 通过 β -catenin 调控 MMP7、MMP9 影响淋巴瘤细胞的侵袭和迁移。**结论** 在淋巴瘤细胞中升高 Axin 可引起 β -catenin 表达下降,进而 MMP7、MMP9 表达下降,抑制淋巴瘤细胞的侵袭和迁移。

关键词: Axin; MMP7; MMP9; 淋巴瘤; β -catenin

Overexpression of Axin inhibits lymphoma cell invasion and metastasis *in vitro* by down-regulating β -catenin and MMP7/MMP9

LI Zhijin, YE Jingzhu, ZHAN Liying, ZHENG Malian

Department of Hematology, 184 Hospital of PLA, Yingtan 335000, China

Abstract: Objective To investigate that the role of Axin in regulating the invasion and migration ability of lymphoma cells and explore the molecular mechanisms. **Methods** The expressions of Axin, β -catenin, MMP7, and MMP9 were detected in different lymphoma cell lines by RT-PCR and Western blotting. A lymphoma cell line with low Axin expressions was transiently transfected with pCMV5-HA-Axin and pcDNA5-His- β -catenin plasmid, and the expressions of β -catenin, MMP7, and MMP9 mRNA and protein were observed. A lymphoma cell model stably overexpressing Axin was transfected with Axin-shRNA and β -catenin-shRNA, and the changes in β -catenin, MMP7, and MMP9 expressions were observed. The changes in the invasion and migration abilities of this cell model were assessed following Axin knockdown. **Results** In the lymphoma cell lines tested, the Axin expression showed a negative correlation with β -catenin, MMP7, and MMP9 expressions. In Raji cells with a low Axin expression, overexpression of Axin resulted in decreased expressions of β -catenin, MMP7, and MMP9 at the protein levels but not the mRNA levels, and overexpression of β -catenin obviously increased MMP7 and MMP9 mRNA and protein expressions. In the cells with stable Axin overexpression, Axin knockdown caused increased expressions of β -catenin, MMP7, and MMP9 at the protein levels but not the mRNA levels, while β -catenin knockdown caused lowered expressions of MMP7 and MMP9 and suppressed cell invasion and migration. **Conclusion** In lymphoma cells, Axin overexpression can decrease the expression of β -catenin, which in turn decreases the expressions of MMP7 and MMP9 to inhibit the cell invasion and migration.

Key words: Axin; MMP7; MMP9; lymphoma; β -catenin

淋巴瘤是起源于淋巴结和淋巴组织的恶性肿瘤,占男性恶性肿瘤发病的第9位,女性第10位,并且发病率每年平均增加,为发病率增长最快的恶性肿瘤,严重威胁着人类健康^[1]。因此,研究淋巴瘤的侵袭转移具有重

要意义。轴抑制因子(Axin)是在Fused的小鼠突变株中克隆得到的。AXIN是一种细胞内架构蛋白,与Wnt信号通路的活性密切相关^[2-3]。AXIN在多种肿瘤细胞中呈现低表达^[4]。研究报道在正常细胞中Axin介导 β -catenin磷酸化和降解,使Wnt通路保持低活性状态。当AXIN表达下调时,就会使 β -catenin不能被有效磷酸化和降解,而在浆(或核)内异常蓄积入核,启动许多相

收稿日期:2015-10-22

作者简介:李志晋,副主任医师, E-mail: gastricz@163.com

通信作者:郑马亮,主治医师, E-mail: haoweipei104@163.com

关癌基因转录,影响细胞的生物活性^[5]。研究报道过表达AXIN可以明显抑制肿瘤细胞的侵袭和转移,然而,其机制仍不清楚。目前研究报道MMPs(基质金属蛋白酶家族)与肿瘤的侵袭转移能力密切相关。过表达MMPs蛋白可以明显促进肿瘤细胞的侵袭和转移^[6]。MMP7、MMP9是基质金属蛋白酶家族中的重要成员,对细胞外基质包括基底膜均有降解作用,从而破坏了机体防御肿瘤浸润与转移的能力,增加了肿瘤的浸润性^[7-9]。最近有研究报道AXIN过表达下调 β -catenin可抑制肺癌细胞侵袭^[10],但AXIN如何调控淋巴瘤细胞的侵袭转移的机制仍不清楚。在研究中,我们在淋巴瘤细胞中改变AXIN的表达,观察MMP7、MMP9的表达和淋巴瘤细胞的侵袭和迁移能力的变化,并对AXIN调控MMP7和MMP9的表达的机制进行了研究。

1 材料和方法

1.1 主要材料

人淋巴瘤细胞株 Ramos、Raji、U937、SNK-6、HUT-78、Daudi购自美国ATCC, α -MEM培养液和胎牛血清购自美国Gibco,Lipofectamine™ LTX and Plus Reagent转染试剂盒购自美国Invitrogen,G418购自北京索莱宝科技有限公司,TRIzol试剂、PrimeScript™ RT reagentKit with gDNA Eraser (Perfect Real Time)和SYBR® Premix Ex Taq™ (Tli RNaseH Plus)试剂盒购自宝生物工程(大连)有限公司,RIPA裂解液购自北京普利莱基因技术有限公司,BCA蛋白浓度测定试剂盒购自碧云天生物技术研究,兔抗人AXIN、 β -catenin、MMP7、MMP9和 α 微管蛋白(α -Tubulin)多克隆抗体购自美国Proteintech,山羊抗兔IgG(二抗)购自北京中杉金桥生物技术有限公司,化学发光检测试剂

盒购自北京天根生物科技有限公司;限制性内切酶BamH I、Xho I、Xba I,T₄DNA连接酶,pyrobest DNA聚合酶,Dpn I酶,质粒提取试剂盒,DNA凝胶回收试剂盒,一步法RT反转录试剂盒及大肠杆菌DH5 α 感受态细胞购自大连宝生物公司(TaKaRa);设计的AXIN、 β -catenin等序列及相关引物由上海生工公司合成;pCMV5-HA、pcDNA5-His质粒购自promega;AXIN-shRNA、 β -catenin-shRNA购自上海吉玛制药技术有限公司

1.2 方法

1.2.1 细胞培养及转染 淋巴瘤细胞置于37℃、CO₂体积分数为5%的培养箱中培养,用含10%胎牛血清的 α -MEM培养液换液传代培养。选取AXIN低表达的Raji细胞后,,按新型脂质体Lipofectamine™ LTX and Plus Reagent转染试剂说明用不含10%胎牛血清的 α -MEM培养液进行转染,分别转染pCMV5-HA-Axin和pcDNA5-His- β -catenin及共转,设置空白对照组,于转染4~6h后更换含有10%胎牛血清的 α -MEM培养液中继续培养,48h后质粒高表达期提取细胞RNA和总蛋白。在稳定高表达AXIN的Raji细胞中,采用相同方法及分组转染干扰质粒。

1.2.2 设计引物及构建pCMV5-HA-Axin和pcDNA5-His- β -catenin质粒 根据Genbank的基因序列设计引物,具体见表1。提取人淋巴瘤细胞Raji和Daudi中的总RNA,以总RNA为模板反转录为cDNA。进行PCR扩增反应,利用T₄DNA连接酶连接 β -catenin全长片段与pcDNA5-His空载体,连接Axin全长片段与pCMV5-HA载体,然后将连接产物转化到DH5 α 感受态大肠杆菌,扩增后抽提质粒DNA,酶切及测序验证。

表1 PCR引物序列、产物大小及复性温度
Tab.1 PCR primers, product length and anealing temperatures

Gene	Primer sequence	Product length(bp)	Anealing Temperature
AXIN	Sence:5'-CTGGTGTCTTGCTGATAC-3'	184	55.4
	Antisence:5'-TGTCTTGGTCGTTGTCTTC-3'		
β -catenin	Sence:5'-ACCTGAGACTGGATGTAGAA-3'	158	53.2
	Antisence:5'-GCTGGAATGACAACTGGAT-3'		
MMP7	Sence:5'-AGGCTCAGGACTATCTCAA-3'	276	51.9
	Antisence:5'-CCACTGTAATATGCGGTAAG-3'		
MMP9	Sence:5'-GGAAGATGCTGTGTTCA-3'	210	57.8
	Antisence:5'-CCACCTGGTTCAACTCAC-3'		
GAPDH	Sence:5'-CATCACCATCTTCCAGGAG-3'	213	56.1
	Antisence:5'-AGGCTGTTGTCATACTTCTC-3'		

1.2.3 构建稳定高表达 AXIN 的 Raji 细胞 取对数生长长期的人淋巴瘤细胞 Raji 细胞接种于 6 孔板中(2×10^5 细胞/孔),待细胞融合度为 70%~80% 时,按 Lipofectamine™ LTX and Plus Reagent 转染试剂盒说明书提供的方法分别将重组载体 pCMV5-HA-Axin 质粒和阴性对照载体转染至 Raji 细胞。转染 48 h 后,加入 1000 $\mu\text{g/mL}$ 的 G418 进行筛选,有阳性克隆长出时,在荧光显微镜下标记后挑取单克隆细胞进行培养,在 96 孔板中以有限稀释法筛选和纯化稳定转染的单克隆细胞并扩大培养,培养过程中应用 500 $\mu\text{g/mL}$ G418 维持培养。荧光显微镜下观察筛选后各组细胞绿色荧光蛋白的表达情况。成功转染重组载体质粒后的细胞称 pCMV5-HA-Axin-Raji。

1.2.4 实时荧光定量 PCR 法检测各基因的 mRNA 表达水平 收集未经处理的多种淋巴瘤细胞株细胞以及过表达 AXIN 或 β -catenin 的 Raji 细胞、干扰 AXIN 或 β -catenin 的稳定高表达细胞,应用 TRIzol 试剂和 PrimeScript™ RT reagent Kit with gDNA Eraser (Perfect Real Time) 分别提取各组细胞的总 RNA,并将其反转录成 cDNA 反应条件:37 $^{\circ}\text{C}$ 15 min,85 $^{\circ}\text{C}$ 5 s),随后以此 cDNA 为模板应用 SYBR® Premix Ex Taq™ (Tli RNaseHPlus) 进行 PCR 扩增。PCR 反应条件:95 $^{\circ}\text{C}$ 30 s;95 $^{\circ}\text{C}$ 5 s,60 $^{\circ}\text{C}$ 30 s,共 40 个循环。以 $2^{-\Delta\Delta\text{CT}}$ 值表示各基因 mRNA 的相对表达水平。

1.2.5 蛋白质印迹法检测各基因蛋白的表达水平 收集未经处理的多种淋巴瘤细胞株细胞以及过表达 AXIN 或 β -catenin 的 Raji 细胞、干扰 AXIN 或 β -catenin 的稳定高表达细胞,用 RIPA 裂解液提取细胞总蛋白,BCA 法测定蛋白质浓度。取 20 μg /孔蛋白质进行 10% SDS-PAGE,将电泳分离后的蛋白质转移至聚偏二氟乙烯膜上,用含 5% 脱脂奶粉的封闭液于室温下封闭 1 h;加入 1:1000 稀释的抗 AXIN 和 α -Tubulin(内参照)抗体,4 $^{\circ}\text{C}$ 反应过夜;TBST

漂洗 3 次,加入 1:10 000 稀释的辣根过氧化物酶标记的羊抗兔或羊抗鼠 IgG(二抗),室温反应 1 h;TBST 漂洗 3 次,加入化学发光试剂显影成像,应用 Image Lab 软件进行蛋白条带灰度值的分析。以目的蛋白条带的灰度值与内参照 α -Tubulin 蛋白条带灰度值的比值表示目的蛋白的相对表达水平。

1.2.6 Transwell 侵袭实验检测细胞侵袭和迁移能力 使用 Transwell 检测空白处理对照组、稳定高表达 AXIN 组、干扰 AXIN 的稳定高表达 AXIN 组细胞的侵袭能力变化。取对数期生长的 Raji 细胞,经过胰酶消化下来,低速离心后,大约按 2×10^5 细胞数加入到每个小室,用不含血清的培养液进行培养,放置在含有 10% 的血清培养液的 24 孔板上,放置在 5% CO_2 、37 $^{\circ}\text{C}$ 封闭环境内孵育

24 h,甲醛固定 20 min,用 0.1% 结晶紫染色 20 min,用 PBS 洗 3 遍。显微镜($\times 200$)下计数迁移至滤膜外表面的细胞数,取平均值,实验重复 3 次。

1.3 统计学方法

采用 SPSS19.0 统计软件,数据以均数 \pm 标准差表示,两组间数据的比较采用 t 检验,多组间数据的比较采用方差分析,组间两两比较采用 Tukey 法或 Dunnett's T₃ 法进行分析, $P < 0.05$ 为差异有统计学意义。本研究中的所有实验均重复 3 次。

2 结果

2.1 在多株淋巴瘤细胞株里 AXIN、 β -catenin、MMP7、MMP9 的表达情况

用 RT-PCR 和 Western blotting 法观察多株淋巴瘤细胞株里 AXIN、 β -catenin、MMP7、MMP9 的 mRNA 及蛋白表达情况。结果发现:观察蛋白水平,Raji 细胞中 AXIN 相对低表达;当 AXIN 升高时, β -catenin、MMP7、MMP9 降低,当 AXIN 降低时, β -catenin、MMP7、MMP9 呈升高趋势(图 1)。推测 AXIN 与 β -catenin、MMP7、MMP9 呈负相关。

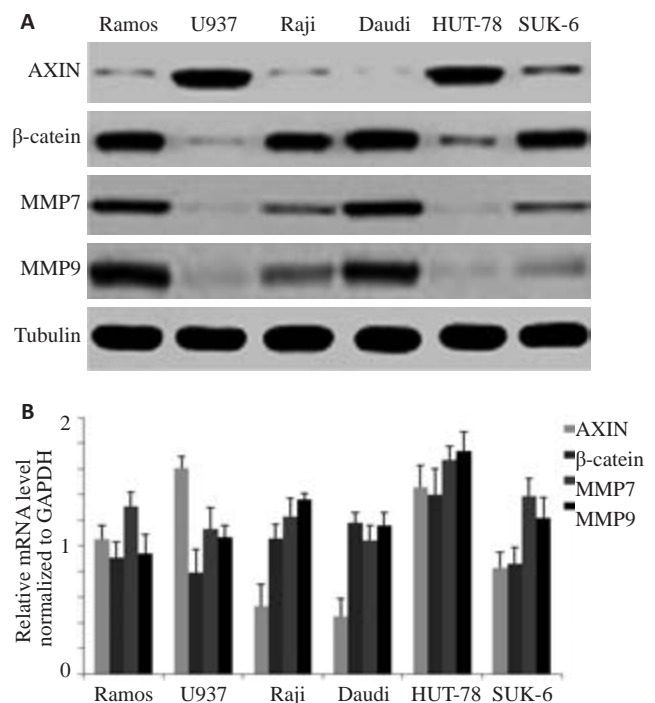


图 1 在多株淋巴瘤细胞株里 AXIN、 β -catenin、MMP7、MMP9 的表达情况

Fig.1 Expression of Axin, β -catenin, MMP7 and MMP9 at the protein (A, Western blotting) and mRNA (B, qRT-PCR) in different lymphoma cell lines.

2.2 在 Raji 和 HUT-78 细胞中过表达和干扰 AXIN 或 β -catenin 对 MMP7、MMP9 的影响

对于 Raji 细胞组分空白对照组、pCMV5-HA-

Axin、pcDNA5-His- β -catenin、pcDNA5-His- β -catenin + pCMV5-HA-Axin 这 4 组, HUT-78 细胞组分空白对照组、AXIN-shRNA、 β -catenin-shRNA 和 AXIN-shRNA + β -catenin-shRNA 这 4 组。采用 RT-PCR 和 Western blot 法检测各个基因的蛋白及 mRNA 水平。图 2A 结果显示: 过表达 Axin 的细胞中, β -catenin、MMP7、MMP9 蛋白水平较空白对照组明显下降, MMP7、MMP9、 β -catenin mRNA 未变化; 过表达 β -catenin 的细胞中, MMP7、MMP9 蛋白及 mRNA 水平较空白对照组明显

升高, 而 Axin 未见明显变化; 过表达 Axin 和过表达 β -catenin 的细胞中, β -catenin、MMP7、MMP9 表达较过表达 β -catenin 组明显下降。图 2B HUT-78 细胞株的结果与 Raji 细胞株的蛋白水平结果相反, mRNA 水平结果同样说明 Axin 不影响 β -catenin、MMP7、MMP9 的 mRNA。说明蛋白水平, 升高 Axin 可以下调 β -catenin、MMP7、MMP9 的表达水平, 而且 Axin 可以恢复过表达 β -catenin 产生的影响。

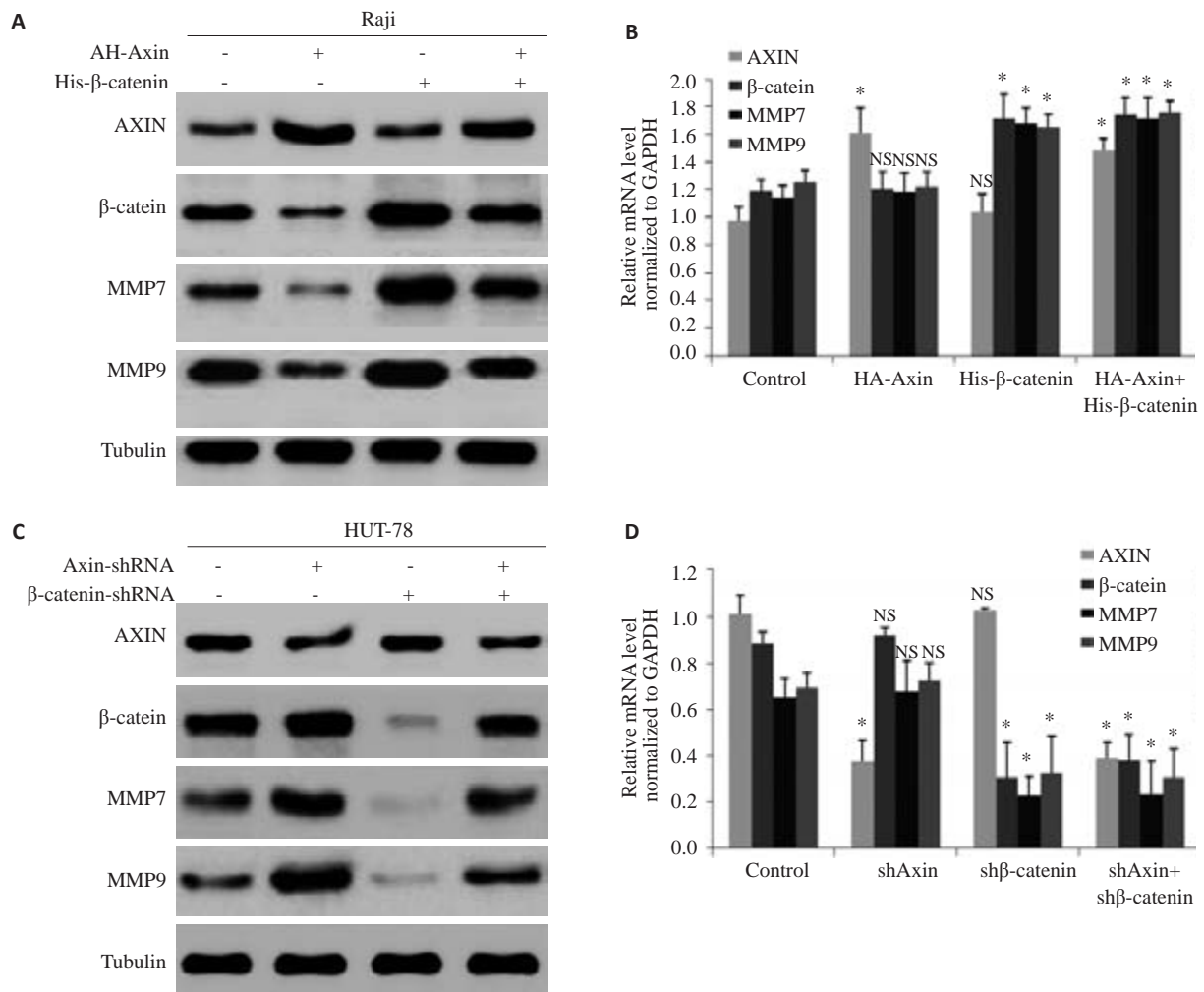


图2 在 Raji 和 HUT-78 细胞中过表达和干扰 Axin 或 β -catenin 中 MMP7、MMP9 的表达情况

Fig.2 Expression of MMP7 and MMP9 in Raji and HUT-78 cells after overexpressing and interfering Axin or β -catenin. A: Protein expressions in Raji cells; B: mRNA levels in Raji cells; C: Protein expressions in HUT-78 cells; D: mRNA levels in HUT-78 cells. * $P < 0.05$. NS: No significance.

2.3 在稳定高表达 Axin 细胞中干扰 Axin 或 β -catenin 对 MMP7、MMP9 的影响

在稳定高表达 Axin 的 Raji 细胞中, 分四组分别转染空白干扰片段、AXIN-shRNA、 β -catenin-shRNA、AXIN-shRNA + β -catenin-shRNA。用 RT-PCR 和 Western blot 技术分别检测各个基因表达情况。结果显示: 构建稳定高表达 Axin 的 Raji 细胞株成功; 干扰 Axin 的 pCMV5-HA-Axin-Raji 后, β -catenin、MMP7、MMP9 蛋

白水平较空白干扰组明显升高, MMP7、MMP9、 β -catenin mRNA 未变化; 干扰 β -catenin 的 pCMV5-HA-Axin-Raji 后, MMP7、MMP9 表达较空白干扰组明显下降, 而 Axin 未见明显变化; 干扰 Axin 和 β -catenin 的细胞后, β -catenin、MMP7、MMP9 表达较干扰 β -catenin 组明显升高(图 3)。说明降低 Axin 可以上调 β -catenin、MMP7、MMP9 的表达水平, 而且 Axin 可以恢复干扰 β -catenin 产生的影响。

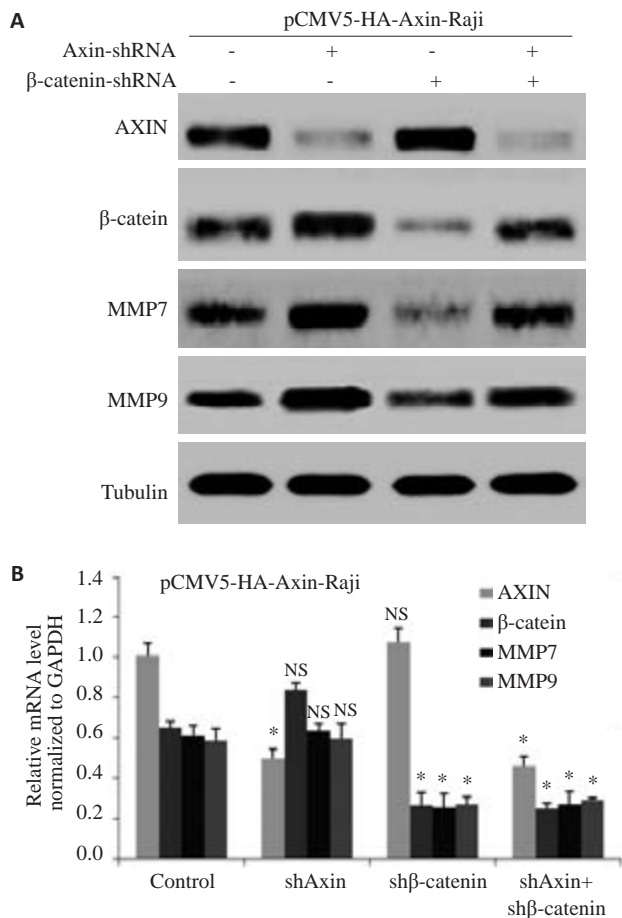


图3 在稳定高表达AXIN细胞中干扰AXIN或 β -catenin中MMP7、MMP9的表达情况

Fig.3 Expression of MMP7 and MMP9 proteins (A) and mRNA (B) in cells overexpressing Axin after AXIN or β -catenin knockdown. * P <0.05. NS: No significance.

2.4 AXIN调节MMP7、MMP9对淋巴瘤细胞侵袭能力的影响

Transwell侵袭实验结果显示:稳定高表达AXIN组Raji细胞穿膜细胞数 48 ± 2.74 明显低于空白处理对照组 90 ± 6.63 及干扰AXIN的稳定高表达AXIN组 76 ± 4.69 ($P=0.024$,图4)。

3 讨论

在全球范围内,恶性淋巴瘤的发病率近30年来已高达20/10万。在我国恶性淋巴瘤也已是常见肿瘤第8位,发病率高达6/10万~7/10万^[11]。而且淋巴细胞分布全身各部,一旦恶变,手术切除效果有限,临床治疗需结合放化疗^[12]。生物治疗已成为恶性淋巴瘤的第四治疗方式。无论何种治疗方式,淋巴瘤的浸润和转移是造成预后不良患者死亡的主要原因。本文从转移相关基因MMP7、MMP9开始研究,进一步研究了AXIN- β -catenin-MMP7/MMP9转移机制轴。为了研究AXIN在淋巴瘤细胞的侵袭和转移的内在机制,我们进一步实验发现改变Axin后,发现 β -catenin的蛋白含量明显发生变化,而 β -catenin mRNA水平无明显变化,证实AXIN虽然不影响 β -catenin的转录,但通过诱导其降解可以显著下调 β -catenin在细胞内的含量,这与其他实验室的研究结果一致。

先前研究报道过,肿瘤细胞发生侵袭时,肿瘤细胞通过扩散并逐渐侵入细胞外基质(ECM),肿瘤细胞和基质细胞通过分泌蛋白酶导致ECM的降解,从而使基底膜缺损,肿瘤细胞可以由这种方式进入血管,向远处

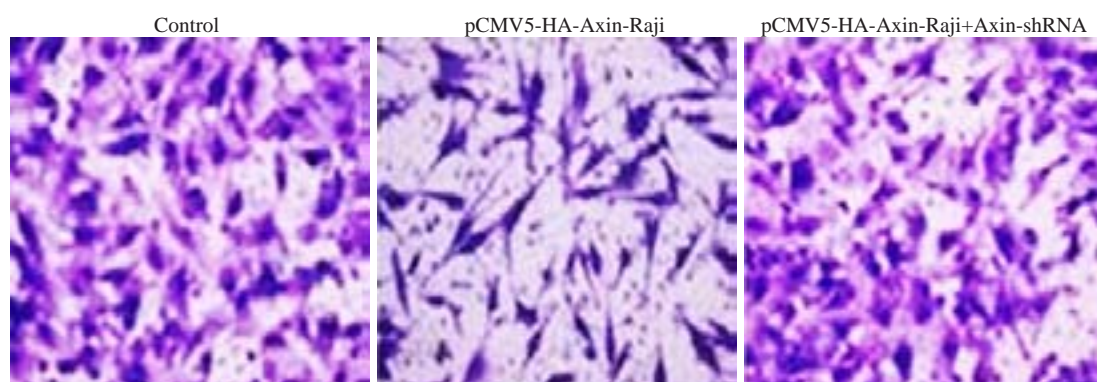


图4 AXIN调节MMP7、MMP9对淋巴瘤细胞侵袭能力的影响

Fig.4 Effect of Axin-mediated regulation of MMP7 and MMP9 on invasion ability of lymphoma cells.

进行转移^[13-14],肿瘤细胞或肿瘤间质组织产生降解ECM的主要是蛋白水解酶,目前认为最为重要的是基质金属蛋白酶系列(MMPs)^[15]。MMP7、MMP9属于MMPs家族中的一员,而且MMP7、MMP9是MMPs家族最重要的蛋白酶之一^[16]。AXIN与肿瘤的转移研究并非我们首次报道,AXIN是1997年从一种称为Fused的小鼠突变

株中克隆到的基因^[17]。AXIN以构架蛋白的形式在Wnt信号转导途径中起负调节作用^[18]。Xu等^[19]研究认为AXIN的表达减少与肿瘤的TNM分期和淋巴结转移相关,并是食管鳞癌进展的重要原因之一,这与我们在淋巴瘤里研究一致。非小细胞肺癌中研究存在着AXIN的表达减少时,出现 β -catenin的核蓄积和肺癌的

低分化^[20],我们在淋巴瘤中研究也发现 AXIN 与 β -catenin 呈负相关。大量研究证实 AXIN 能与 Wnt 信号途径中的许多成员相互结合从而影响 wnt/ β -catenin 信号通路影响细胞的功能。 β -catenin 是经典的 cadherin-catenin 复合体和 Wnt 通路的重要成员,其异常蓄积对肿瘤的恶性增殖和侵袭转移有重要作用^[21-22]。AXIN 作为调控 β -catenin 蛋白降解的关键分子,对保持 Wnt 通路的低活性状态,调节细胞的增殖和凋亡具有重要作用^[23]。这与我们研究结果相一致,说明 AXIN 在诱导 β -catenin 降解和分布,抑制肿瘤发生、发展和侵袭方面发挥重要作用。AXIN 与 MMP7、MMP9 的关系并没有学者研究过,我们首次在实验中发现 AXIN 相对低表达的 Raji 细胞中转染过表达 AXIN 质粒后,与侵袭相关的靶基因 MMP-7、MMP9 表达减少,进而导致淋巴瘤细胞的侵袭转移能力减弱,而共转染 β -catenin 质粒会使淋巴瘤细胞的侵袭转移能力恢复;在稳定高表达 AXIN 的 Raji 细胞中转染 Axin-shRNA, MMP7、MMP9 表达上升,进而导致淋巴瘤细胞的侵袭转移能力增强,当共转染 β -catenin-shRNA 会使淋巴瘤细胞的侵袭转移能力下降。证明 β -catenin 在 AXIN 和 MMP7、MMP9 之间起着桥梁作用。

综上所述,肿瘤细胞浸润转移过程中最为重要的过程无疑是 ECM 的降解导致的,研究已证实 MMPs 是降解 ECM 的重要蛋白水解酶家族,能降解 ECM 和 BM 所有成分从而导致肿瘤细胞的侵袭和转移^[24-26]。而且我们首次证实 AXIN 通过 β -catenin 调控侵袭相关的靶基因 MMP-7、MMP9 的表达,进而影响淋巴瘤细胞侵袭转移能力。本研究阐述了 AXIN 抑制淋巴瘤细胞的侵袭转移能力的机制,为淋巴瘤靶向治疗提供了新的理论依据和实验基础。

参考文献:

- [1] 马莉,马梁明. 格列卫对恶性淋巴瘤细胞 Raji 凋亡和增殖的实验研究[J]. 山西大同大学学报: 自然科学版, 2010, 26(2): 65-8.
- [2] Pećina-Slaus N, Martić TN, Kokotović T, et al. AXIN-1 protein expression and localization in glioblastoma[J]. Coll Antropol, 2011, 35(Suppl 1): 101-6.
- [3] Hida T, Nakamura F, Usui H, et al. Semaphorin3a-induced axonal transport mediated through phosphorylation of axin-1 by GSK3 β [J]. Brain Res, 2015, 1598(14): 46-56.
- [4] 杨连赫,马爽,徐洪涛,等. Axin 通过负向调控 Wnt 通路抑制 A549 细胞系增殖[J]. 现代肿瘤医学, 2013, 21(1): 21-4.
- [5] Behrens J, Jerchow BA, Würtele M, et al. Functional interaction of an axin homolog, conductin, with β -catenin, APC, and GSK3 β [J]. Science, 1998, 280(5363): 596-9.
- [6] Malemud CJ. Matrix metalloproteinases (MMPs) in health and disease: an overview[J]. Front Biosci, 2006, 11(6): 1696-701.
- [7] Patterson BC, Sang QA. Angiostatin-converting enzyme activities of human matrilysin (MMP-7) and gelatinase B/type IV collagenase (MMP-9) [J]. J Biol Chem, 1997, 272(46): 28823-5.
- [8] Watelet JB, Bachert C, Claeys C, et al. Matrix metalloproteinases MMP-7, MMP-9 and their tissue inhibitor TIMP-1: expression in chronic sinusitis vs nasal polyposis[J]. Allergy, 2004, 59(1): 54-60.
- [9] Thorns V, Walter GF, Thorns C. Expression of MMP-2, MMP-7, MMP-9, MMP-10 and MMP-11 in human astrocytic and oligodendroglial gliomas[J]. Anticancer Res, 2003, 23(5A): 3937-44.
- [10] Kishida S, Yamamoto H, Ikeda S, et al. Axin, a negative regulator of the wnt signaling pathway, directly interacts with adenomatous polyposis coli and regulates the stabilization of β -catenin [J]. J Biol Chem, 1998, 273(18): 10823-6.
- [11] 张玉玲,唐吉好,郑荣寿,等. 中国 2009 年恶性淋巴瘤发病与死亡分析[J]. 中国肿瘤, 2013, 22(5): 338-43.
- [12] 陈为民. 老年弥漫大 B 细胞淋巴瘤的特点与治疗进展[J]. 实用老年医学, 2014, 122(6): 464-8.
- [13] Waterland RA, Dolinoy DC, Lin JR, et al. Maternal methyl supplements increase offspring DNA methylation at Axin Fused[J]. Genesis, 2006, 44(9): 401-6.
- [14] 金利华,李勤喜,叶志云. Axin 在 Wnt 信号转导途径中的作用[J]. 中国生物化学与分子生物学报, 2006, 22(4): 289-95.
- [15] Xu HT, Wang L, Lin D, et al. Abnormal β -catenin and reduced axin expression are associated with poor differentiation and progression in non-small cell lung cancer [J]. Am J Clin Pathol, 2006, 125(4): 534-41.
- [16] 刘树立,徐洪涛,杨连赫,等. Axin 过表达下调 β -catenin 和 TCF-4 表达并抑制肺癌 BE1 细胞的增殖和侵袭[J]. 中国肺癌杂志, 2009, 12(4): 277-82.
- [17] Huang H, He X. Wnt/ β -catenin signaling: new (and old) players and new insights[J]. Curr Opin Cell Biol, 2008, 20(2): 119-25.
- [18] Willert K, Shibamoto S, Nusse R. Wnt-induced dephosphorylation of axin releases β -catenin from the axin complex[J]. Genes Dev, 1999, 13(14): 1768-73.
- [19] Wiechens N, Heinle K, Englmeier L, et al. Nucleo-cytoplasmic shuttling of Axin, a negative regulator of the Wnt- β -catenin Pathway[J]. J Biol Chem, 2004, 279(7): 5263-7.
- [20] Kim BS, Mooney DJ. Development of biocompatible synthetic extracellular matrices for tissue engineering[J]. Trends Biotechnol, 1998, 16(5): 224-30.
- [21] Shapiro SD. Matrix metalloproteinase degradation of extracellular matrix: biological Consequences[J]. Curr Opin Cell Biol, 1998, 10(5): 602-8.
- [22] Oberhauser AF, Marszalek PE, Erickson HP, et al. The molecular elasticity of the extracellular matrix protein tenascin [J]. Nature, 1998, 393(6681): 181-5.
- [23] Di Girolamo N, Mccluskey P, Lloyd A, et al. Expression of MMPs and TIMPs in human pterygia and cultured pterygium epithelial cells[J]. Invest Ophthalmol Vis Sci, 2000, 41(3): 671-9.
- [24] Chaussain-Miller C, Fioretti F, Goldberg M, et al. The role of matrix metalloproteinases (MMPs) in human caries[J]. J Dent Res, 2006, 85(1): 22-32.
- [25] Hemmann S, Graf J, Roderfeld M, et al. Expression of MMPs and TIMPs in liver fibrosis - a systematic review with special emphasis on anti-fibrotic strategies[J]. J Hepatol, 2007, 46(5): 955-75.
- [26] Sutnar A, Pesta M, Liska V, et al. Clinical relevance of the expression of mRNA of MMP-7, MMP-9, TIMP-1, TIMP-2 and CEA tissue samples from colorectal liver metastases [J]. Tumour Biol, 2007, 28(5): 247-52.

(编辑:孙昌朋)